

حسابات ترددات اهتزاز و شدد امتصاص طيف الاشعة تحت الحمراء لجزيئة [6]سايكلاسين (Chiral)

رحاب ماجد كبة

جامعة بغداد- كلية العلوم

تاريخ الاستلام: ٢٠١٠/١٠/١٧ تاريخ القبول: ٢٠١١/٢/١٤

الخلاصة.

تم حساب ترددات الاهتزاز وشدة امتصاص طيف الاشعة تحت الحمراء، لجميع الاحداثيات الداخلية لجزيئة [6] سايكلاسين نوع (Chiral) الحلزونية ذات الشكل التماثلي (D3d)، وبعدها (6-3N) ومناقشتها تماثلها و تأصريا وفق نظرية دوال الكثافة (DFT) وباسلوب (B3LYP) وعناصر قاعدة (6-311G). وعند مقارنة نتائج الحسابات، وجد بأن ترددات الاهتزاز للانماط المتماثلة لحركات المط التأصيرية للاواصر C-H أعلى من تلك غير المتماثلة والعكس لاواصر C-C، و تكون ترددات الاهتزاز المتماثلة للحركات الانثنائية (uCH) و (uCC) أعلى من نظائرها غير المتماثلة. ويمكن تلخيص هذه العلاقات بالاتي:

$\epsilon_{\text{sym.CH str.}} > \epsilon_{\text{asym. CH str.}}$ ، $\epsilon_{\text{sym CC str.}} < \epsilon_{\text{asym. CC str.}}$ ، $\epsilon_{\text{C=C str. (circum.)}} > \epsilon_{\text{C--C str. (axial.)}} > \epsilon_{\text{C-C str. (circum.)}}$

وان:

$\epsilon_{\text{sym. CH}} > \epsilon_{\text{asym. CH}}$ ، $\epsilon_{\text{sym. xCH}} < \epsilon_{\text{asym. xCH}}$ ، $\text{CH (rocking)} > \text{CH (scissoring)}$
 $\text{xCH (twisting)} > \text{xCH (wagging)}$

حيث (C-Caxial) هي اطوال اواصر كاربون كاربون المتجهه على طول المحور العمودي في الجزيئة، اما (C-Cc) فهي اطوال اواصر كاربون-كاربون المتجهه على طول محيط الجزيئة. كما تم و بدقة تعيين جميع الأنماط الاهتزازية العائدة للحركات الانبعاجية و التنفسية والانحنائية باتجاه وعكس اتجاه عقرب الساعة، والتي تعود اليها التشوهات الحاصلة من جراء الاهتزاز. أيضا تم حساب و دراسة توزيع الشحنات الالكترونية على ذرات هذه الجزيئة.

كلمات مفتاحية : ترددات اهتزاز ، شدد امتصاص ، طيف الاشعة تحت الحمراء [6] سايكلاسين (Chiral)

المقدمة

الالكتروليتي لقطب الكرافيت في منصهر ملحي (Molten salt) [9, 10].

وتمت دراسة الخواص الالكترونية لهذه الأنابيب نظريا بطرائق تتعلق بميكانيك الكم وعلى وفق فيزياء المادة، والميكانيك الستاتيكي [11]. وكذلك درس العالم (Hamada) ومجموعته الخواص الالكترونية للأنابيب النانوكاربون نظريا، وبين اعتماد صفاتها بصورة رئيسة على الأقطار (Radius) والكيرالية (Chirality) والى مجموعة النقطة (Point group) [12].

وتمت أيضا دراسة علاقة القوة المثالية للأنابيب النانوكاربون بقطر الأنبوب (d)، وبأطوال أواصر (C-C)

تتكون أنابيب النانوكاربون أحادية الطبقة المفردة (Single Wall Carbon Nanotube) من حلقات البنزين السداسية متصلة مع بعضها البعض بشكل طوق، و تكون طريقة ترتيب الحلقات السداسية تبعا للمحور السيني للأنبوب [1-5].

وقد تم تحضير انابيب النانوكاربون (CNTs) بطرائق مختلفة منها طريقة التفريغ الكهربائي لقطب الكرافيت و تحت ضغط من غاز الهليوم، بوجود عوامل مساعدة مثل (Fe أو Co أو Ni) [6,1]. وطريقة التحلل الحراري للهيدروكربون بوجود عامل مساعد مثل (Ni أو Co) [7]. وطريقة تبخر الكرافيت باستعمال الليزر [8]. وطريقة التحلل

المتجهة على طول المحور العمودي في أنابيب النانوكاربون أحادية الطبقة (C-Caxial)، وكذلك أطوال أواصر (C-C) المتجه على طول محيط أنبوب النانوكاربون أحادي الطبقة (C-Cc) (شكل-1) [13].

أما في ما يتعلق بحسابات ودراسة ترددات الاهتزاز في أنابيب النانوكاربون، يجب فهم طبيعة أنماط الحركات الاهتزازية في هذه الأنابيب، ودراسة تأثيرها في تشوه شكل الأنابيب وعلاقة هذا التشوه المباشرة مع قابلية التوصيل الحراري والالكتروني، حيث وجد ان تشوه شكل الأنابيب يؤدي الى التغير في الخاصية الالكترونية والميكانيكية لأنبوب النانوكاربون، (شكل-2) [14]. وقد وجد تجريبياً أن هناك ثلاثة أنماط أساسية من ترددات الاهتزاز لأنابيب النانوكاربون أحادية الطبقة التي لها التأثير المباشر في خواصها التوصيلية، هي: أنماط الاهتزاز التنفسية (breathing)، وأنماط انحناء الجزيئة مع عكس عقرب الساعة (clock & anticlockwise) وأنماط الانبعاج (puckering) [15].

وأثبتت هذه الدراسات أن ترددات الأنماط الاهتزازية الفعالة في طيف الأشعة تحت الحمراء تعتمد على الأقطار و الكيلارلية، ونوع الأنبوب، وطول الأنبوب، مع الأخذ بعين الاعتبار التماثل لأنابيب النانوكاربون [16]. وتعد هذه الدراسات بصمات أصعب لطيف امتصاص الأشعة تحت الحمراء، والهدف منها تفسير وفهم الصفات المميزة لأنابيب النانو كاربون كاستقرارها، و توصيلها الكهربائي العالي وامكانية الاستفادة منها في التطبيقات الصناعية [17]. كما تمت دراسة تأثير التشوهات والعيوب في الحركة الاهتزازية وفي الخواص الالكترونية لأنابيب النانوكاربون (CNTs) [18] بنجاح في بحوث معهد ماكس بلانك للحالة الصلبة لحساب الأنماط الاهتزازية لهذه الأنابيب النانوية، وذلك باستخدام تقنية المسح الميكروسكوبي الأنبوبي الذي يعمل في درجة حرارة 6K كلفن. وبينت الدراسة أن التشوهات الحاصلة من جراء الاهتزاز عند بعض أنماط الحركة الاهتزازية قد تزيد قوة التشوه في الذرات المجاورة، وتقل بدورها من قابلية التوصيل الحراري للأنبوب وقدرته لسريان الحرارة [19,20].

و لا يوجد في الأدبيات مايشير إلى التصنيف التماثلي والتكافؤي التام لترددات الاهتزاز و بعدد 3N-6 لأمتال هذه الجزيئة أو لأنابيب النانوكاربون نوع (Chiral) المتشاكلة منها، رغم كل ماورد عن أهمية دراسة الحركات الاهتزازية وتصنيفها وطبيعتها في هذه الانابيب، لذا قمنا بهذه الدراسة و تعد حساباتنا تنبؤية تامة

_____:

جزيئة [6] سايكلاسين نوع (Chiral) الحلزوني، شكلها حلقي تتكون من ارتباط الجزيئات الحلقية السداسية بشكل مائل حلزوني. تم حساب الشكل الهندسي التوازني على وفق طريقة الحساب لنظرية دوال الكثافة (DFT) [21] وباسلوب (B3LYP) [22] وعناصر قاعدة [23] (6-311G)، وقد وجد امتلاكها للشكل التماثلي (D3d) وفقاً لنظرية المجموعة [24]، (شكل-3). وتبعاً لهذا التماثل، تم حساب حرارة التكوين والاحداثيات الهندسية الداخلية (اطوال و زوايا التاصر) للمقطع المتكرر فيها (شكل-4)، مع بعض الخواص الفيزيائية عند الشكل الهندسي المتوازن، (جدول -1).

ويلاحظ فيه أن أقصر الأواصر تعود الى الأواصر المحيطة كالأصرة (C6-C11) الثنائية وبالتالي فإنها أقوى الأواصر وثابت القوى لتردداتها هي الاكبر، تليها أطوال الأواصر المحورية كالأصرة المنفردة (C3-C6) والأواصر المحورية المقترنة كالأصرة (C1-C2)، ثم الأواصر المحيطة الداخلية كالأصرة (C7-C12) المنفردة هي أطول الأواصر وأضعفها وثابت القوى لتردداتها هي الاقل وينسجم هذا مع قيم ترددات اهتزاز المط لهذه الأواصر و العلاقات بينها جدول (2).

تصنيف ترددات الاهتزاز

تمتلك جزيئة [6] سايكلاسين نوع Chiral، (210) نمطاً اهتزازياً من الترددات الاساسية Fundamental vibration وبعده (3N-6). وتم استخراج العدد الكلي للاصناف التماثلية tot. مع استخراج الاصناف التماثلية غير القابلة للاختزال وتساوي 216 نمطاً اهتزازياً.

$$3N = 3 \times 72 = 216 = 18A1g = \text{tot.} \\ + 6Eg + 18A2u + 36Eu + 17A2g + 18A1u + A2g$$

هنالك ثلاث من هذه الانماط دورانية [zR]، [yR، xR] Eg و ثلاث اخرى انتقالية [A2u(zT)، (yT، xT) Eu]، يصبح عدد درجات الحرية الاهتزازية vib مساوياً الى (210):

$$\text{vib.} = \text{tot.} - (\text{rot} + \text{tra}) = 3N - 6 \\ 18A1g + 210 = \text{vib.} = 216 - 6 = \\ 35Eg + 17A2u + 35Eu + 17A2g + 18A1u$$

ومن جدول القيم الذاتية [17] تم تحديد عدد الانماط الاهتزازية الفعالة في طيف الاشعة تحت الحمراء فقط وعددها 87 نمطاً اهتزازياً (17A2u + 35Eu)، وتحديد عدد الانماط الاهتزازية الفعالة في طيف رامان فقط،

وعدها 88 نمطا اهتزازيا 35Eg(depolarized) و18A1g(polarizad). أما الانماط غير الفعالة في كلا الطرفين فعددها 35 نمطا اهتزازيا (17A2g + 18A1u). وقد تم تصنيف جميع هذه الانماط وعلى النحو الآتي:

ترددات مط الاصرة CH

(CH stretching vibrations)

وعدها 24 نمطا اهتزازياً بعدد اواصر (C-H) ويتمركز متجهات الازاحة لها عند ذرات الهيدروجين لاواصر (CH)، وتتراوح القيم العددية لتردداتها الناتجة من الحساب بين (3057-3032) سم-1، وبالتدقيق في (جدول 2-)، يلاحظ أن أعلى شدة 38.908 كم/مول وتعود للنمط 194(A2u) عند التردد 3055 سم-1. كما ويمكن ملاحظة العلاقة الآتية:

$$vsym (CH str.) (3057 cm^{-1}) > (A1g)$$

$$vasym (CH str.) (3054 cm^{-1}) (Eg)$$

- ترددات مط اصرة C-C الحلقية
Ring CC stretching vibrations(CCstr.)

لايتمركز متجهات ازاحات المط فيها عند ذرات كاربون اواصر محددة، و تتراوح قيم تردداتها المحسوبة بين (1454 -1358) سم-1. وبالتدقيق في (جدول 2) يمكن ملاحظة أن أعلى شدة 40.909 كم/مول وتعود للنمط 119(Eu) عند التردد 1537 سم-1. كما و ويمكن ملاحظة العلاقة الآتية:

$$vsym. (CCC str.) (1454 cm^{-1}) > v5 (A1g)$$

$$vasym. (CCC str.) (1409 cm^{-1})$$

$$\text{€}_{198} (A_{2u})$$

- ترددات انحناء الاصرة CH

The CH bending vibrations (CH)

تتراوح قيم تردداتها المحسوبة بين (1484 -1164) سم-1. وبالتدقيق في (جدول 2) يمكن ملاحظة أن أعلى شدة 37.368 كم/مول وتعود للنمط 199(A2u) عند التردد 1346 سم-1.

يمكن ملاحظة العلاقات الآتية: وبصورة عامة

$$vsym. (--CH) (rock.) >$$

$$vsym. (--CH) (sciss.)$$

$$vsym. (--CH) (sciss.) >$$

$$vsym. (=CH) (sciss.)$$

$$vasym. (=CH) (rock.) >$$

$$vasym. (=CH) (sciss.)$$

- ترددات انحناء أواصر CCC الحلقية

Ring bending vibrations (CCC)

وتتراوح القيم العددية لتردداتها الناتجة من الحساب بين (1638-1342) سم-1، وبالتدقيق في (جدول 2) يمكن ملاحظة أن أعلى شدة 9.122 كم/مول وتعود للنمط 117(Eu) عند التردد 614 سم-1 كما و ويمكن ملاحظة العلاقات الآتية:

$$vsym (C=C str.) (1637 cm^{-1}) < v3 (A1g)$$

$$vasym (C=C str.) (1642 cm^{-1}) v45(Eg)$$

(circum.)

$$(C--C str.) (1602 cm^{-1}) < v4 (A1g)$$

$$vasym(C-Cstr.) (1642 cm^{-1}) v21(A1u) (axial)$$

و بصورة عامة:

$$v (C-C str.) (circum.) <$$

$$v (C--C str.) (axial.) <$$

$$v (C=C str.) (circum.)$$

ترددات مط اواصر CCC الحلقية Ring

CCC stretching vibrations (CCC str.)

لايتمركز متجهات ازاحات المط فيها عند ذرات 351-833 وتتراوح قيم تردداتها المحسوبة بين (

يمكن ملاحظة أن أعلى 2 وبالتدقيق في (جدول 1). سم-

عند 200(A2u) كم/مول وتعود للنمط 11.095 شدة

. كما ويمكن ملاحظة العلاقة الآتية: 1سم-1221 التردد

$$vsym (CCC) (1102 cm^{-1}) >$$

$$vasym (CCC) (833 cm^{-1})$$

ترددات انحناء الاصرة CH

CH bending vibrations

(997-997) تتراوح قيم تردداتها المحسوبة بين (٦٨٢)

(يمكن ملاحظة أن أعلى 2 وبالتدقيق في (جدول 1). سم-

عند 144(Eu) كم/مول وتعود للنمط 195.524 شدة

. كما ويمكن ملاحظة العلاقات الآتية: 1سم-928 التردد

$$vasym. \gamma(=CH) (twist.) circum. >$$

$$vasym. \gamma(--CH) (twist.) (axial.)$$

$$vsym. \gamma(=CH) (wag.) circum. <$$

$$vasym. \gamma(--CH) (twist.) (axial.)$$

$$vsym. \gamma(=CH) (wag.) circum. <$$

$$vsym. \gamma(--CH) (wag.) (axial.)$$

-ترددات الانحناء الحلقية (CCC)

(765-45) وتتراوح قيم تردداتها المحسوبة بين

للانماط الفعالة في طيف الاشعة تحت الحمراء. و 1سم-

(يمكن ملاحظة أن أعلى شدة 2 وبالتدقيق في (جدول-

عند التردد 207(A2u) كم/مول وتعود للنمط 5.532

. ويمكن ملاحظة العلاقة الآتية: 1سم-629

$$v sym. (\gamma CCC) (616 cm^{-1}) < (A1g)$$

$$v asym. (\gamma CCC) (765 cm^{-1})$$

(A1u)

δ : الحركة الانحنائية في مستوى سطح الجزيئة
(عند مستوى الطوق الحلقي).

δ : In- plane of the molecule.

وقد جاءت قيم الترددات المحسوبة قريبة من قيم البعض منها المحسوبة نظرياً (ودون التصنيف التام بعدد (3N-6) على وفق طريقة (DFT) لانايبب النانو التي وحدة بنائها أمثال هذه الجزيئة [16].

ويوضح جدول (2) ترددات وشدد امتصاص الاشعة تحت الحمراء بعدد 3N-6 متضمنة الاصناف الفعالة في طيف الاشعة تحت الحمراء (شدة الامتصاص لها (0.0)، والاصناف غير الفعالة في طيف الاشعة تحت (شدة الامتصاص لها (= 0.0))، مع التصنيف التكافؤي و التماثلي لها وفق نظرية المجموعة، و وفق هيرزبرك لتسلسل الانماط التماثلية [25].

، الاشكال البيانية الواصفة (5-شكل) و يبين نوع سايكلاسين [6] لبعض أنماط الحركة الاهتزازية لجزيئة و DFT، كما تم حسابها على وفق طريقة الحساب Chiral Gaussian 03 باستخدام برنامج

وعند مقارنة ترددات الاهتزاز لهذه الجزيئة مع الترددات المناظرة لها في جزيئة الفينانثرين الاروماتية المسطحة Planar ذات التماثل (C2v) والتي تم حسابها بنفس طريقة واسلوب وعناصر قاعدة الحساب (DFT (B3LYP/ 6-311G)، (جدول-3)، يلاحظ أن قيم ترددات الاهتزاز لجزيئة السايكلاسين أوطاً من الترددات المقابلة لها في جزيئة الفينانثرين، يشير هذا الى أن ثوابت القوى لترددات هذه الجزيئة أقل والى أن الاواصر العائدة لها اضعف مما هي عليه في جزيئة الفينانثرين والى كون جزيئة السايكلاسين اقل استقراراً، تؤكد حارة التكوين المحسوبة لها (Hf = 304.821 kcal/mol) التي هي أكبر بكثير من حارة التكوين المحسوبة لجزيئة الفينانثرين (Hf = 54.864 kcal/mol) وفق نفس طريقة الحساب، و يعزى ذلك الى الشد الحلقي المتسبب عند لف الحلقات الاروماتية بغرض تكوين الطوق الحلقي لجزيئة السايكلاسين. وأخيراً تمت دراسة توزيع الشحنة الالكترونية على ذرات هذه الجزيئة حيث وجد تمركزها بصورة رئيسة عند ذرات الكاربون المحيطية C-Cc (ذات الشحنات السالبة) و عند ذرات الهيدروجين (ذات الشحنات الموجبة)، في حين تتضائل عند ذرات الكاربون البعيدة عن الحواف الخارجية للجزيئة. ويتضح هذا في الشكل (6) حيث يلاحظ ان الشحنة الالكترونية على ذرات كاربون الحافة الخارجية لجزيئة السايكلاسين اكبر سالبة والتي وجدت مساوية الى (-0.166) عند ذرتي

γ : الحركة الانحنائية خارج مستوى سطح الجزيئة
(خارج مستوى الطوق الحلقي)

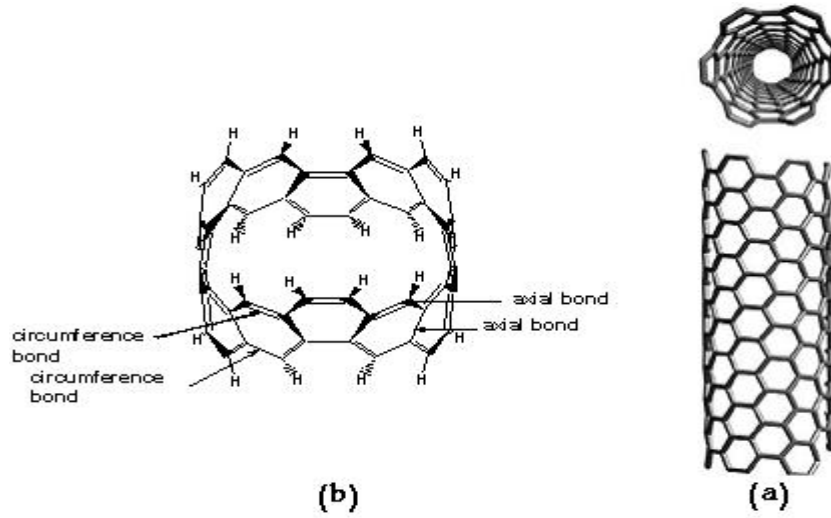
γ : Out of plane of the molecule.

كاربون الاصرة المزدوجة المحيطية، وهذه اكبر سالبة من الشحنات على ذرات الكاربون عند الحافة الى الداخلية والمرتبطة بالواصر المقترنة المحورية (-0.147)، تليها ذرات الكاربون بين ذرتي الكاربون الطرفية (-0.025)، ثم ذرات الكاربون الداخلية المحيطية (-0.012). وتتوافق هذه النتائج مع أطوال الاواصر (جدول-1) فالاقصر هي التي تتمركز عندها الشحنة الالكترونية بدرجة أكبر وهي التي ترددات الاهتزاز لها أكبر (جدول-2)، وكذلك تتوافق هذه النتائج مع ماشير اليه في الاسباب حول طبيعة توزيع الشحنة الالكترونية في أنابيب النانوكاربون [27-29]، من أن الشحنات الالكترونية تنتقل ميكانيكياً في انابيب النانوكاربون بين الاغلفة الخارجية من انبوب الى الاخر، ومع النتائج التي تم الحصول عليها عند حساب توزيع الشحنة الالكترونية لجزيئات سايكلاسين بأنواع اخرى (Zig zag و Armchair) باستخدام حسابات ميكانيك الكم شبه التجريبية (MINDO/3) و (PM3) [30].

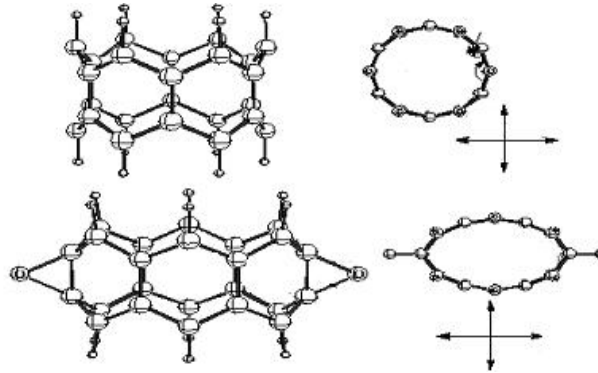
المصادر

- 1- a- Iijima S. (1991). Helical microtubules of graphitic carbon. *Nature* 354, 56–58. b- Iijima S, Ichlhashi T. (1993). Single-shell carbon nanotubes of 1-nm diameter. *Nature* ; 363: 603–5.
- 2- Carroll, D. L. et al. (1997). Electronic structure and localized states at carbon nanotube tips. *Phys. Rev. Lett.* ; 78: 2811–2814.
- 3- Iijima S, Brabec C, Maiti A, Bernholc J. (1996) Structural flexibility of carbon nanotubes. *J. Chem. Phys.*; 104(5): 2089–92.: O. Hofmann, G. Voirin, P. Niedermann and A. Manz, (2002). *Anal. Chem.* 74, 5243.
- 4- Saito, R., Fujita, M., Dresselhaus, G. and Dresselhaus, M. S. (1992). Electronic structure of chiral graphene tubules. *Appl. Phys. Lett.*; 60: 2204–2206.
- 5- Erik T. Thostenson, C.L., Tsu-Wei Chou., (2005). Nanocomposites in context. *Composites. Science and Technology.*; 65: 491-516.
- 6- E. Flahaut, A. Govindaraj, A. Peigney, C. Laurent, C.N. Rao, (1999). Synthesis of single-walled carbon nanotubes using binary (Fe, Co, Ni) alloy nanoparticles

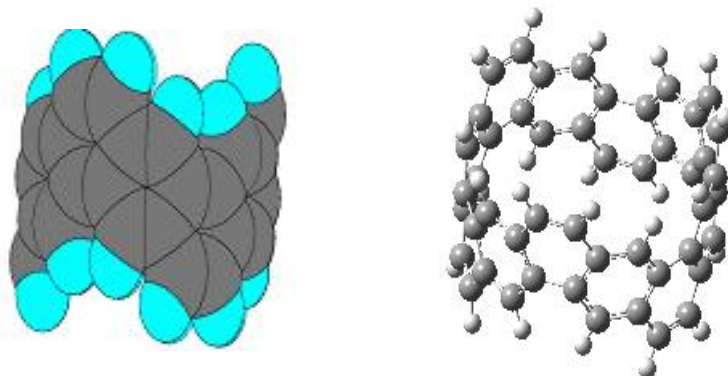
- C. H. & Heremans, J. P. (1994). Scanning tunneling spectroscopy of carbon nanotubes. *J. Mater. Res.* 9, 259–262.
- 20- Science direct-surface science Reports; (2005). Electronic and Vibrational properties of chemically modified (SWCNTs), Article Tool book, *Max-plank-Institut fuer*, Germany, vol. 58, Issues 4, p. 1-5, August.
- 21- W. Kohn, and L. J. Sham, (1964). *Phys. Rev.*, 140, A1133-A1138 (1965), P. Hohenberg, and W. Kohn, *Phys. Rev.*, 136, B864-B871.
- 22- R. G. Parr and W. Yang, (1989). Density-Functional Theory of Atoms and Molecules. *Oxford, New York*, p. 53.
- 23- 311G, See G03, User's Manual, Gaussian, Inc. Pittsburgh, PA, 2003.
- 24- G. Davidson, (1990). Introduction to group theory for Chemists, *Applied Science Publishers Ltd. London*, Elsevier Publishing Comp. Ltd.
- 25- G. Herzberg, (1971). Molecular Spectra and Molecular Structure, Infrared and Raman spectra of Polyatomic Molecules, *Van Nostrand Co*, New York.
- 26- Lewars E. (2003) COMPUTATIONAL CHEMISTRY "Introduction to the Theory and Applications of Molecular and Quantum Mechanics"., *Chemistry Department, Trent University, Peterborough*, Ontario, Canada.
- 27- Krcmar M., Saslow W.M. and Zangwill A., (2003). Electrostatic of Conducting Nanocylinder, *J. Appl. phys.*; 93 :3495-3500.
- 28- Odom T.W., Huang J., Kim P. and Lieber C.M. (2000). Structure and electronic properties of CNT. *J. Phy. Chem.* ;104: 2794-2809.
- 29- Zhang, Z. and Lieber, C. M. (1993). Nanotube structure and electronic properties probed by STM. *Appl. Phys.Lett.* ;62 :2972–2974.
- 30- H. N. Al-Ani, "Theoretical study of vibration modes for Cyclacene and Collarene molecules (Construction units of carbon nanotubes)", M.Sc. Thesis, College of Science, University of Baghdad., (2009).
- prepared in situ by the reduction of oxide solid solutions, *Chem. Phys. Lett.* ;300 : 236–242.
- 7- Ge M, Sattler K. (1994). Bundles of carbon nanotubes generated by vapor-phase growth. *Applied Physics Letters*; 64 (6): 710–1.
- 8- J. Kong, H. Soh, A. Cassell, C.F. Quate, H. Dai, (1998). Synthesis of individual single-walled carbon nanotubes on patterned silicon wafers, *Nature.*; 395: 878.
- 9- J. Jiao, S. Seraphin, X.K. Wang and J.C. Withers, *J. Appl. Phys.* 80, 103, (1996).
- 10- W.K. Hsu, M. Terrones, J.P. Hare, H. Terrones, H.W. Kroto and D.R.M. Walton *Chem. Phys. Lett.* 262, 161, (1996).
- 11- N. Anderson, A. Hartschuh, S. Cronin and L. Novotny, *J. Am. Chem. Soc.* 127, 2533-2537, (2005).
- 12- Hamada, N., Sawada, S. and Oshiyama, (1992). A. New one-dimensional conductors: graphitic microtubules. *Phys. Rev. Lett.* ;68 :1579-1581.
- 13- Imtani A.N. and Jinal V.K. (2006). Bond Lengths of Single-Walled Carbon Nanotubes. Department of Physics, Panjab University, Chandigarh-160014, India;1-11.
- 14- a- A. Rochefort, P. Avouris, *J. Phys. Chem. A* 104, 9807–9811, (2000); L. Chico, L.X. Benedict, S.G. Louie, M.L. Cohen, *Phys. Rev. B* 54, 2600–2606 (1996); P.E. Pehrsson, W. Zhao, J. W. Baldwin, C. H. Song, J. Liu, S. Kooi and B. Zheng, *J. Phys. Chem. B* 107, 5690–5695 (2003).
- 15- A.B. Dalton, J.N. Coleman, B. McCarthy, P.M. Ajayan, S. Lefrant, P. Bernier, W. Blau and H.J. Byrne, *J. Phys. Chem. B.* 104, 1012, (2000).
- 16- K.A. Ramani and H. Chadl, (2006). Infrared spectroscopy of SWCNTs. *J. phys.chem.* ;B.110(25) :12388-12393.
- 17- Ruoff RS, Lorents DC. (1995). Mechanical and thermal-properties of carbon nanotubes. *Carbon*; 33(7): 925–30.
- 18- Vitali L., Bughard M., Schneider M.A., LeiLiu Y.Wu., Jayanthi C. and Kem K. (2004). Photon Spectromicroscopy of Carbon Nanostructures with Atomic Resolution. *Phys. Rev. Lett.*; 93:136103.
- 19- U. Kuhlman, H. Jantoljak, N. Pfander, P. Bernier, C. Journet and C. Thomsen, Olk,



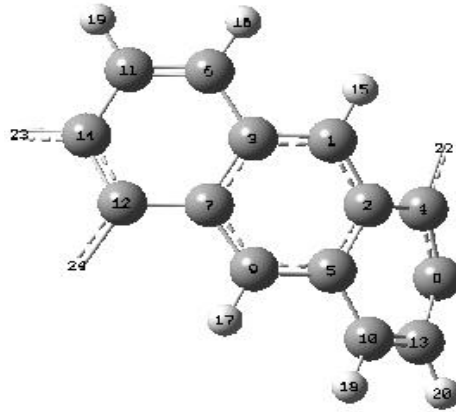
(1-) (a) :
 سايكلاسين نوع Chiral تتوضح فيه المتجهه على طول محيط الجزيئة.
 Chiral (b) الشكل الهندسي الفراغي لجزيئة [6] المتجهه باتجا (C-Ca) للجزيئة (C-Cc)



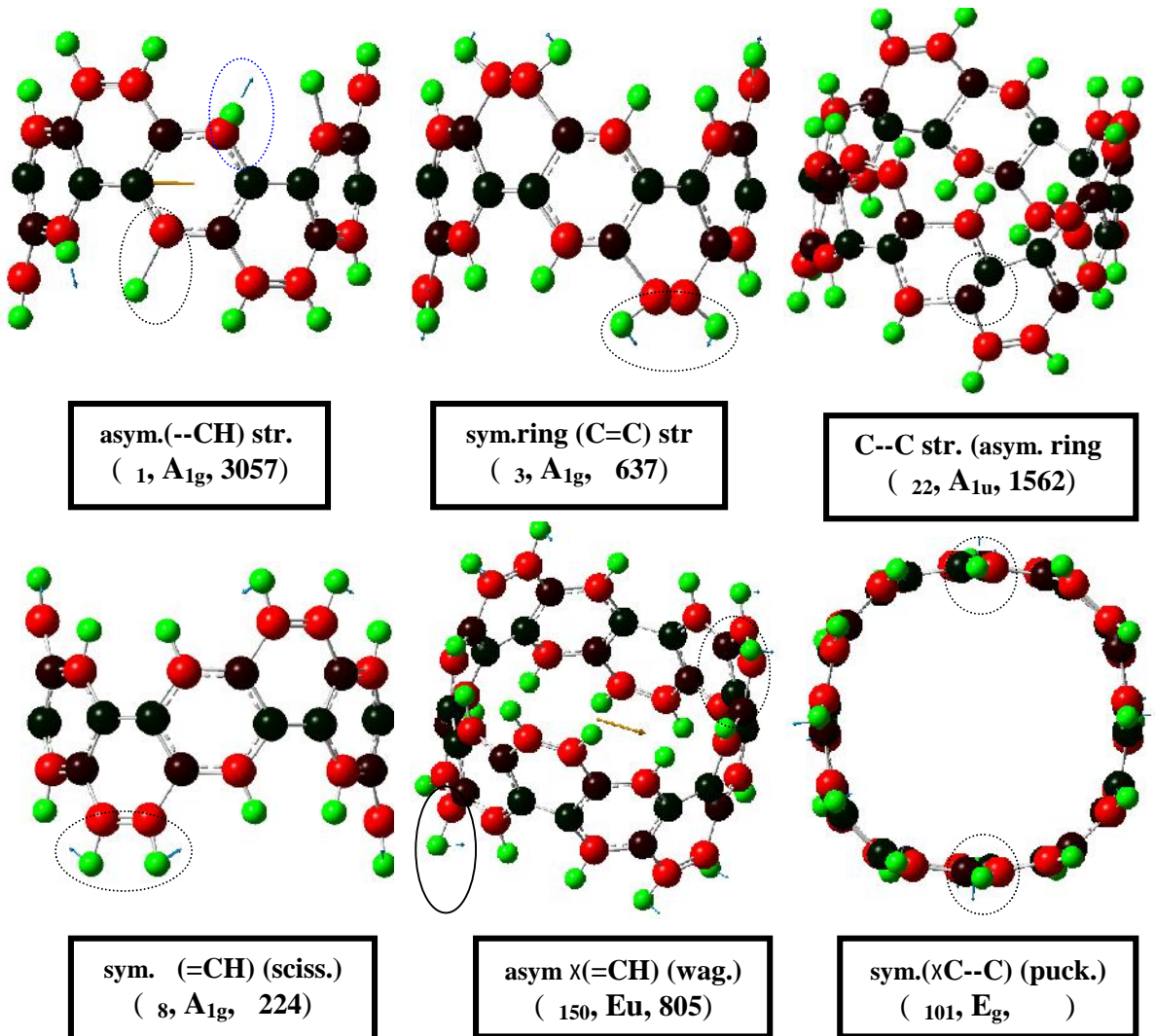
(2-) : التشوهات الحاصلة في أنابيب النانوكاربون بسبب الحركات الاهتزازية .



(3-) : الشكل الهندسي التوازني لجزيئة [6] سايكلاسين نوع (Chiral).



(4-) : مقطع الاواصر والزوايا المتكررة على وفق تماثل الشكل الهندسي الفراغي (D_{3d}) لجزيئة [6] سايكلاسين (Chiral) حسابه على وفق طريقة الحساب DFT.



(5-) : الاشكال البيانية الواصفة لبعض أنماط الحركة الاهتزازية لجزيئة [6] سايكلاسين Chiral، يوضح تموضع الحركة الاهتزازية عند الترددات المقابلة لها.

(1-) : وزوايا التآصر لجزيئة [6] سايكلاسين نوع Chiral الحلزونية الفيزيائية.

Bond length (Å) and Bond angles (deg.)	(DFT) B3LYP/ 6-311G
C ₁ C ₂ *	1.404
C ₁ C ₃ **	1.403
C ₇ C ₁₂ **	1.472
C ₂ C ₅ *	1.434
C ₃ C ₆ *	1.449
C ₅ C ₉	1.403
C ₆ C ₁₁ **	1.356
C ₁ H ₁₅	1.082
C ₆ H ₁₆	1.083
< C ₂ C ₁ C ₃	121.269
< C ₂ C ₁ H ₁₅	120.073
< C ₁ C ₂ C ₅	117.012
< C ₁ C ₂ C ₄	122.559
< C ₁ C ₃ C ₆	120.540
< C ₁ C ₃ C ₇	119.412
< C ₂ C ₅ C ₁₀	118.785
< C ₃ C ₆ C ₁₁	120.186
< C ₃ C ₆ H ₁₆	118.637
< C ₃ C ₇ C ₉	117.012
< C ₃ C ₇ C ₁₂	117.905
< C ₆ C ₁₁ C ₁₄	120.186
< C ₆ C ₁₁ H ₁₉	120.817
Molecular formula	C ₄₈ H ₂₄
m. wt. (gm/mol)	600.718
H _f (kcal/mol)	304.821
H _f (kJ/mol)	1275.226
Point group	D _{3d}
Length (Å)	5.545
Diameter (Å)	8.757
HOMO (eV)	-7.916
LUMO (eV)	-1.326
Dipole moment (Debye)	0.000

*: axial bond. , **: Circumference bond.

(2): ترددات الاهتزاز و شدة امتصاص الاشعة تحت الحمراء لجزيئة [6] سايكلاسين نوع Chiral

Symmetry & description	DFT B3LYP/ 6-311G Freq. cm ⁻¹	Intensity km/mol
A_{1g}		
v ₁ CH str.	3057	0.000
v ₂ CH str.	3052	0.000
v ₃ ring (C=C) str.	1637	0.000
v ₄ ring (C--C) str.	1602	0.000
v ₅ ring (CCC) str.	1454	0.000
v ₆ (--CH) (rock.)	1321	0.000
v ₇ (--CH) (sciss.)	1312	0.000
v ₈ (=CH) (sciss.)	1224	0.000
v ₉ ring (CCC) + (=CH) (sciss.)	1102	0.000
v ₁₀ γ(--CH) (wag.)	933	0.000
v ₁₁ γ(=CH) (wag.)	803	0.000
v ₁₂ ring (C--C--C) (puck.)	756	0.000
v ₁₃ γring (γCCC) (breath.) + γCH (wag.)	616	0.000
v ₁₄ γring (γCCC) (puckering)	554	0.000
v ₁₅ γring (γC--C--C) (breath.)	460	0.000
v ₁₆ γring (γCCC) (breath.)	383	0.000
v ₁₇ γring (γCCC) (breath.)	258	0.000
v ₁₈ γring (γC-C=C-C) (breath.)	120	0.000
A_{1u}		
v ₁₉ (--CH) str.	3042	0.000
v ₂₀ (=CH) str.	3032	0.000
v ₂₁ ring (C--C) str.	1642	0.000
v ₂₂ ring (C--C str.)	1562	0.000
v ₂₃ ring (C-C str.)+ (=CH)	1463	0.000
v ₂₄ CH + ring (C-C str.) (axial)	1321	0.000
v ₂₅ (=CH) + ring (C--C-C) str.	1244	0.000
v ₂₆ γ(=CH) (twist.)	997	0.000
v ₂₇ γ(--CH) (twist.)	940	0.000
v ₂₈ γ(--CH) (twist.)	890	0.000
v ₂₉ ring (CCC) (clock & anticlockwise)	833	0.000
v ₃₀ γring (γCCC)) (puckering)	765	0.000
v ₃₁ ring (C--C--C) (elongation)	664	0.000
v ₃₂ γring (γCCC)) (puckering)	566	0.000
v ₃₃ γring (γCCC)) (puckering)	507	0.000
v ₃₄ ring (CCC)	399	0.000
v ₃₅ γring (γCCC)) (puckering)	378	0.000
v ₃₆ γring (γCCC)) (puckering)	123	0.000
E_g		
v ₃₇ CH str.	3054	0.000

V ₃₈	CH str.	3054	0.000
V ₃₉	CH str.	3053	0.000
V ₄₀	CH str.	3053	0.000
V ₄₁	(--CH) str.	3041	0.000
V ₄₂	(--CH) str.	3041	0.000
V ₄₃	(=CH) str.	3032	0.000
V ₄₄	(=CH) str.	3032	0.000
V ₄₅	ring (C=C) str.	1642	0.000
V ₄₆	ring (C=C) str.	1642	0.000
V ₄₇	ring (C--C) str. + (C=C) str.	1633	0.000
V ₄₈	ring (C--C) str. + (C=C) str.	1633	0.000
V ₄₉	ring (C--C) str. (axial)	1552	0.000
V ₅₀	ring (C--C) str. (axial)	1552	0.000
V ₅₁	ring (CCC) str. + (=CH) (rock.)	1484	0.000
V ₅₂	ring (CCC) str. + (=CH) (rock.)	1484	0.000
V ₅₃	ring (CCC) str. + (--CH) (rock.)	1465	0.000
V ₅₄	ring (CCC) str. + (--CH) (rock.)	1465	0.000
V ₅₅	ring (CCC) str. + (=CH) (rock.)	1389	0.000
V ₅₆	ring (CCC) str. + (=CH) (rock.)	1389	0.000
V ₅₇	(=CH)(sciss.)+ (--CH)(rock.)+(CCC) str.	1355	0.000
V ₅₈	(=CH)(sciss.)+ (--CH)(rock.)+(CCC) str.	1355	0.000
V ₅₉	(--CH) (rock.)	1321	0.000
V ₆₀	(--CH) (rock.)	1321	0.000
V ₆₁	CH (rock.) + ring (CCC)	1256	0.000
V ₆₂	CH (rock.) + ring (CCC)	1256	0.000
V ₆₃	(=CH) (sciss.) + ring (CCC)	1228	0.000
V ₆₄	(=CH) (sciss.) + ring (CCC)	1228	0.000
V ₆₅	CH (sciss.) + ring (CCC)	1208	0.000
V ₆₆	CH (sciss.) + ring (CCC)	1208	0.000
V ₆₇	(=CH) (sciss.)	1164	0.000
V ₆₈	(=CH) (sciss.)	1164	0.000
V ₆₉	γ (=CH) (twist.)	997	0.000
V ₇₀	γ (=CH) (twist.)	997	0.000
V ₇₁	γ (--CH) + γ (=CH) + γ (C=C)	947	0.000
V ₇₂	γ (--CH) + γ (=CH) + γ (C=C)	947	0.000
V ₇₃	γ (--CH) (wag.)	915	0.000
V ₇₄	γ (--CH) (wag.)	915	0.000
V ₇₅	γ (--CH) (wag.)	904	0.000
V ₇₆	γ (--CH) (wag.)	904	0.000
V ₇₇	γ (C=C) + γ (=CH) + γ (--CH)	865	0.000
V ₇₈	γ (C=C) + γ (=CH) + γ (--CH)	865	0.000
V ₇₉	γ (=CH) (wag.)	811	0.000
V ₈₀	γ (=CH) (wag.)	811	0.000
V ₈₁	γ (C-C) (puckering) + γ (--CH)	772	0.000

V ₈₂	$\gamma(\text{C-C})$ (puckering) + $\gamma(\text{--CH})$	772	0.000
V ₈₃	$\gamma(\text{CCC})$ (puckering) + $\gamma(\text{=CH})$ (wag.)	768	0.000
V ₈₄	$\gamma(\text{CCC})$ (puckering) + $\gamma(\text{=CH})$ (wag.)	768	0.000
V ₈₅	$\gamma(\text{CCC})$ (puckering) + $\gamma(\text{=CH})$ (wag.)	683	0.000
V ₈₆	$\gamma(\text{CCC})$ (puckering) + $\gamma(\text{=CH})$ (wag.)	683	0.000
V ₈₇	γ ring (γCCC) (puckering) + γCH (wag.)	673	0.000
V ₈₈	γ ring (γCCC) (puckering) + γCH (wag.)	673	0.000
V ₈₉	γ ring (γCCC) (puckering)	579	0.000
V ₉₀	γ ring (γCCC) (puckering)	579	0.000
V ₉₁	γ ring (γCCC) (puckering) + γCH (wag.)	553	0.000
V ₉₂	γ ring (γCCC) (puckering) + γCH (wag.)	553	0.000
V ₉₃	γ ring (γCCC) (puckering) + γCH	483	0.000
V ₉₄	γ ring (γCCC) (puckering) + γCH	483	0.000
V ₉₅	γ ring (γCCC) (puckering) + γCH (twist.)	428	0.000
V ₉₆	γ ring (γCCC) (puckering) + γCH (twist.)	428	0.000
V ₉₇	γ ring (γCCC) + γCH (twist.)	412	0.000
V ₉₈	γ ring (γCCC) + γCH (twist.)	412	0.000
V ₉₉	γ ring($\gamma\text{C-C=C-C}$) (pucker.) + $\gamma(\text{=CH})$ (twist.)	287	0.000
V ₁₀₀	γ ring($\gamma\text{C-C=C-C}$) (pucker.) + $\gamma(\text{=CH})$ (twist.)	287	0.000
V ₁₀₁	γ ring ($\gamma\text{C--C--C}$) (puckering) + γCH (wag.)	242	0.000
V ₁₀₂	γ ring ($\gamma\text{C--C--C}$) (puckering) + γCH (wag.)	242	0.000
V ₁₀₃	γ ring($\gamma\text{C-C=C-C}$) (pucker.) + $\gamma(\text{=CH})$ (wag.)	169	0.000
V ₁₀₄	γ ring($\gamma\text{C-C=C-C}$) (pucker.) + $\gamma(\text{=CH})$ (wag.)	169	0.000
V ₁₀₅	γ ring (γCCC)) (puckering)	45	0.000
V ₁₀₆	γ ring (γCCC)) (puckering)	45	0.000
Eu			
V ₁₀₇	CH str.	3055	49.553
V ₁₀₈	CH str.	3055	49.553
V ₁₀₉	CH str.	3053	3.673
V ₁₁₀	CH str.	3053	3.673
V ₁₁₁	(--CH) str.	3040	4.865
V ₁₁₂	(--CH) str.	3040	4.865
V ₁₁₃	(=CH) str.	3032	1.707
V ₁₁₄	(=CH) str.	3032	1.707
V ₁₁₅	ring (C=C) str.	1638	3.772
V ₁₁₆	ring (C=C) str.	1638	3.772
V ₁₁₇	ring (C--C) str.	1614	9.122
V ₁₁₈	ring (C--C) str.	1614	9.122
V ₁₁₉	ring (C--C-C) str. + (--CH)	1537	40.909

V ₁₂₀	ring (C--C-C) str. + (--CH)	1537	40.909
V ₁₂₁	ring (CCC) str. + (=CH) (rock.)	1494	0.779
V ₁₂₂	ring (CCC) str. + (=CH) (rock.)	1494	0.779
V ₁₂₃	ring (CCC) str. + (--CH)	1453	2.096
V ₁₂₄	ring (CCC) str. + (--CH)	1453	2.096
V ₁₂₅	ring (C--C--C) str. + (=CH) (rock.)	1393	0.481
V ₁₂₆	ring (C--C--C) str. + (=CH) (rock.)	1393	0.481
V ₁₂₇	ring (C--C--C) str. + (=CH) (rock.)	1352	2.264
V ₁₂₈	ring (C--C--C) str. + (=CH) (rock.)	1352	2.264
V ₁₂₉	(--CH) + (=CH) (rock.)	1317	0.358
V ₁₃₀	(--CH) + (=CH) (rock.)	1317	0.358
V ₁₃₁	(--CH) + (=CH) (rock.)	1290	0.404
V ₁₃₂	(--CH) + (=CH) (rock.)	1290	0.404
V ₁₃₄	(=CH) (rock.)	1250	3.875
V ₁₃₅	(=CH) (rock.)	1250	3.875
V ₁₃₆	(=CH) (rock.) + (--CH)	1214	3.795
V ₁₃₇	(=CH) (rock.) + (--CH)	1214	3.795
V ₁₃₈	(=CH) (sciss.) + (--CH)	1145	3.545
V ₁₃₉	(=CH) (sciss.) + (--CH)	1145	3.545
V ₁₄₀	CH + (CCC)	1117	10.510
V ₁₄₁	CH + (CCC)	1117	10.510
V ₁₄₂	γ (=CH) (twist.)	996	22.252
V ₁₄₃	γ (=CH) (twist.)	996	22.252
V ₁₄₄	γ (--CH) (wag.)	928	195.524
V ₁₄₅	γ (--CH) (wag.)	928	195.524
V ₁₄₆	γ (--CH) (twist.)	898	2.325
V ₁₄₇	γ (--CH) (twist.)	898	2.325
V ₁₄₈	γ C=C + γ (--CH) (wag.)	861	0.478
V ₁₄₉	γ C=C + γ (--CH) (wag.)	861	0.478
V ₁₅₀	γ (=CH) (wag.)	805	28.765
V ₁₅₁	γ (=CH) (wag.)	805	28.765
V ₁₅₂	γ (--CH) (twist.)	770	43.417
V ₁₅₃	γ (--CH) (twist.)	770	43.417
V ₁₅₄	γ CH + γ ring (γ CCC)	761	2.302
V ₁₅₅	γ CH + γ ring (γ CCC)	761	2.302
V ₁₅₆	γ CH + γ ring (γ CCC)	682	3.046
V ₁₅₇	γ CH + γ ring (γ CCC)	682	3.046
V ₁₅₈	γ (=CH) (wag.)	632	15.012
V ₁₅₉	γ (=CH) (wag.)	632	15.012
V ₁₆₀	γ (=CH) (twist.)	573	6.938
V ₁₆₁	γ (=CH) (twist.)	573	6.938
V ₁₆₂	γ CH + γ ring (γ CCC)	551	18.747
V ₁₆₃	γ CH + γ ring (γ CCC)	551	18.747
V ₁₆₄	γ CC + γ CH	455	14.790

V ₁₆₅	γ CC + γ CH	455	14.790
V ₁₆₆	γ CC + γ CH	447	17.019
V ₁₆₇	γ CC + γ CH	447	17.019
V ₁₆₈	γ ring (γ CCC) (puckering)	362	5.340
V ₁₆₉	γ ring (γ CCC) (puckering)	362	5.340
V ₁₇₀	γ ring (γ C--C--C) (puckering)	333	0.001
V ₁₇₁	γ ring (γ C--C--C) (puckering)	333	0.001
V ₁₇₂	γ ring (γ CCC) (puckering) + γ CH (wag.)	241	3.018
V ₁₇₃	γ ring (γ CCC) (puckering) + γ CH (wag.)	241	3.018
V ₁₇₄	γ ring (γ CCC) (puckering) + γ (=CH) (wag.)	202	3.585
V ₁₇₅	γ ring (γ CCC) (puckering) + γ (=CH) (wag.)	202	3.585
V ₁₇₆	γ ring (γ CCC)	64	3.787
V ₁₇₀	γ ring (γ CCC)	64	3.787
A_{2g}			
V ₁₇₇	(--CH) str.	3040	0.000
V ₁₇₈	(=CH) str.	3031	0.000
V ₁₇₉	ring (C--C) str. + ring (C-C) str.	1544	0.000
V ₁₈₀	(CCC) str. + CH	1476	0.000
V ₁₈₁	ring (C--C) str. + (=CH) (rock.)	1406	0.000
V ₁₈₂	ring (C--C) str.	1342	0.000
V ₁₈₃	CH (clock & anticlockwise)	1248	0.000
V ₁₈₄	(--CH) (clock & anticlockwise)	1077	0.000
V ₁₈₅	γ (=CH) (twist.)	996	0.000
V ₁₈₆	γ (--CH) (twist.)	894	0.000
V ₁₈₇	γ (--CH) + (C=C-C)	858	0.000
V ₁₈₈	γ ring (γ CCC)) (puckering)	764	0.000
V ₁₈₉	(C=CC) (clock & anticlockwise)	673	0.000
V ₁₉₀	γ (C=CC)+ γ (--CH) (twist.)	586	0.000
V ₁₉₁	γ ring (γ CCC) (puckering)	404	0.000
V ₁₉₂	ring (CCC)) (elongation)	351	0.000
V ₁₉₃	γ ring (γ CCC)) (puckering)	138	0.000
A_{2u}			
V ₁₉₄	CH str.	3055	238.908
V ₁₉₅	CH str.	3051	1.645
V ₁₉₆	ring (C=C) str.	1641	0.890
V ₁₉₇	(--CH)	1474	2.845
V ₁₉₈	ring (CCC str.)	1409	1.776
V ₁₉₉	(=CH) (sciss.) + ring (C--C--C) str.	1346	37.368
V ₂₀₀	ring (C--C-C) + CH	1221	11.095
V ₂₀₁	(--CH) + (=CH) (sciss.)	1193	2.947
V ₂₀₂	(=CH) (sciss.)	1161	1.485
V ₂₀₃	γ (--CH) (wag.)	917	8.764

V ₂₀₄	γ (=CH) (wag.)	812	0.536
V ₂₀₅	ring (CCC)(elongation)	772	0.160
V ₂₀₆	γ ring (γ CCC) + γ (=CH)	709	0.206
V ₂₀₇	γ ring (γ CCC)(puckering)	629	5.532
V ₂₀₈	γ ring (γ CCC)(puckering)	330	0.617
V ₂₀₉	γ ring (γ CCC)) (puckering)	201	0.003
V ₂₁₀	γ ring (γ CCC)) (puckering)	108	0.114

Scaling factors: 0.96 (CH str.) for all DFT (B3LYP/6-311G) frequencies, [26].

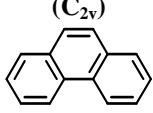
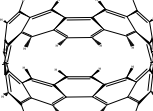
x: Out of plane of the molecule.

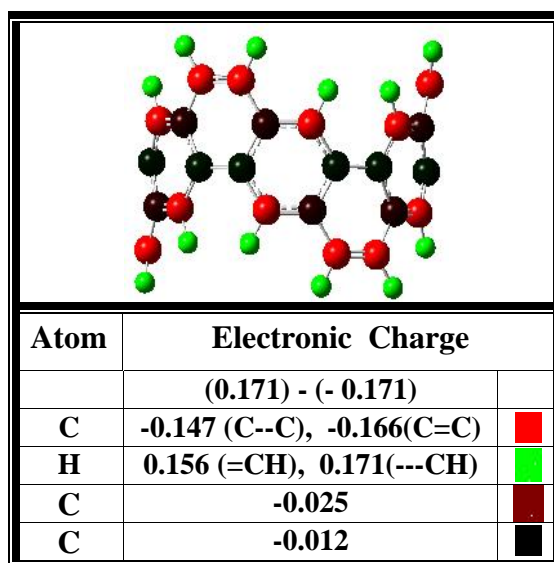
u: In- plane of the molecule. ,

(**breath.**): ring breathing mode التنفسية., (**puck.**): ring puckering mode. الانبعاجية , (**rock.**): CH rocking mode.

(**sciss.**): CH scissoring mode. المقصية , (**twist.**): CH twisting mode. الالتوائية , (**wag.**): CH wagging mode. التارجحية.

(جدول-3): مقارنة ترددات الاهتزاز (cm^{-1}) لجزيئة [6] سايكلاسين نوع Chiral مع ترددات الاهتزاز المناظرة لها في جزيئة الفيانثرين .

Molecule	C-H sym.	C-H asym.	C---Ca sym.	C---Ca asym.	C---Cc sym.	C---Cc asym.	CH sym.	CH asym	xCH sym.	xCH asym.
Phenanthrene (C _{2v}) 	3209 A ₁	3198 B ₂	1644 A ₁	1656 B ₁	1662 A ₁	-----	1341 A ₁	1328 B ₂	1005 A ₂	1021 B ₁
[6] Cyclacene Chairal (D _{3d}) 	3057 A _{1g}	3042 A _{1u}	1602 A _{1g}	1642 A _{1u}	1637 A _{1g}	1641 E _g	1224 A _{1g}	1244 A _{1u}	933 A _{1g}	915 E _g



الالكترونية على ذرات جزيئة [6] سايكلاسين Chiral ، و تبعا للشكل التماثلي لها

(6-) : توزيع
(D_{3d}).

CALCULATED VIBRATION FREQUENCIES AND IR ABSORPTION INTENSITIES OF [6] CYCLACENE (CHIRAL) MOLECULE

REHAB M. KUBBA
E.mail: scianb@yahoo.com

ABSTRACT.:Density Functional Theory (DFT) of the type (B3LYP) and a Gaussian basis (6-311G) was applied for calculating the vibration frequencies and IR absorption intensities for normal coordinates of the ([6] Cyclacene (Chiral), with (D_{3d}) symmetry) molecule. Comparison of the results showed that for the C-H stretching vibrations the sym. modes show higher frequency values than the asym. And the inverse for C-C stretching vibrations.

As for the δ CH and δ CC deformation the asym. vibrations where of lower frequency values than the sym.;

vsym.CH str. > vasym. CH str.

vsym CC str. < vasym. CC str.

ν C=C str. (circum.) > ν C--C str. (axial.) > ν C-C str. (circum.)

And,vsym. CH > vasym. CH

vsym. γ CH < vasym. γ CH

CH (rocking) > CH (scissoring)

γ CH (twisting) > γ CH (wagging)

Where axial are the vertical C-C bonds (annular bonds) in the rings and circumferential are the outer ring bonds.

The results include the assignment of all puckering, breathing and clock-anticlockwise bending vibrations. Also calculations and studying the distribution of electronic density on the atoms of the molecule. They allow a comparative view of the charge density at the carbon atoms too.